

Fig. 1

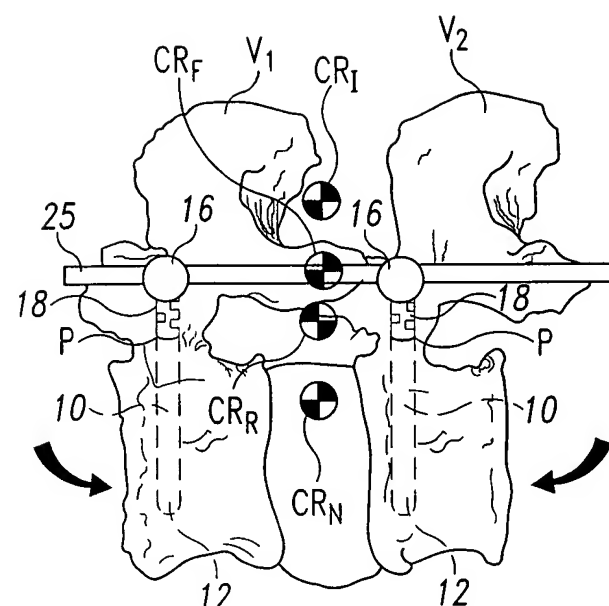


Fig. 3

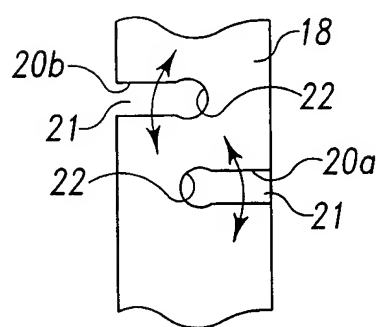


Fig. 2A

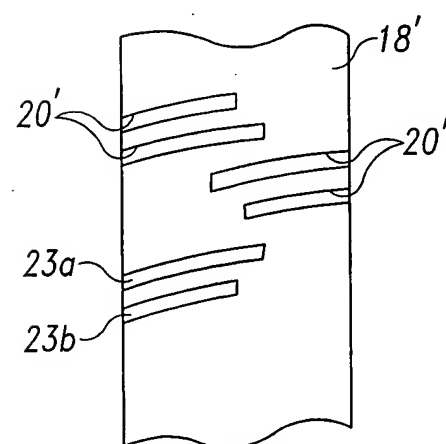


Fig. 2B

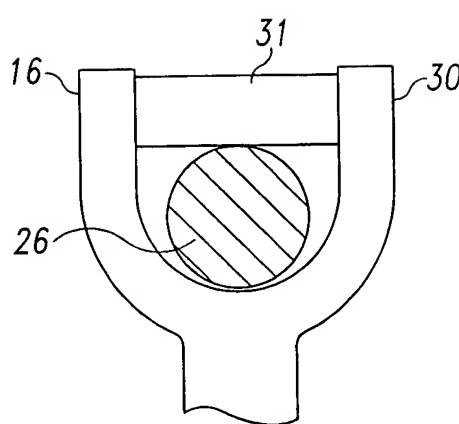


Fig. 4A

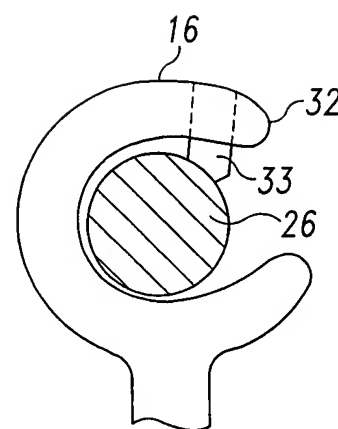


Fig. 4B

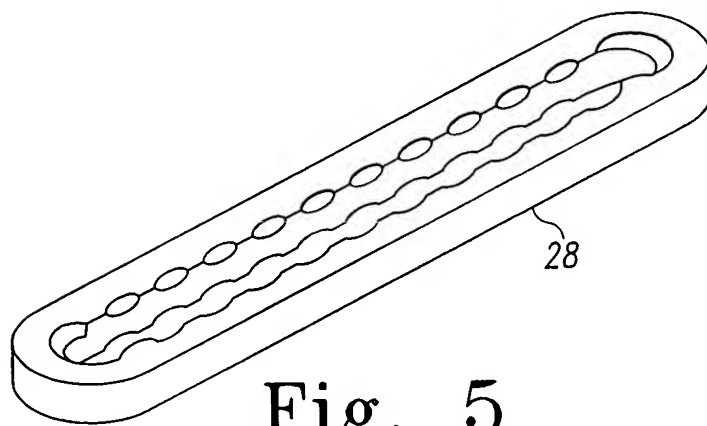


Fig. 5  
(Prior Art)

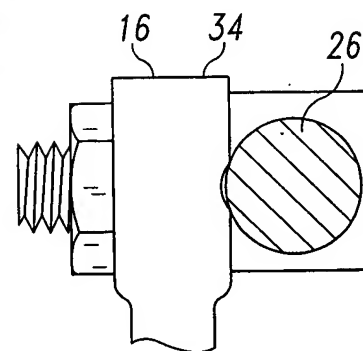


Fig. 4C

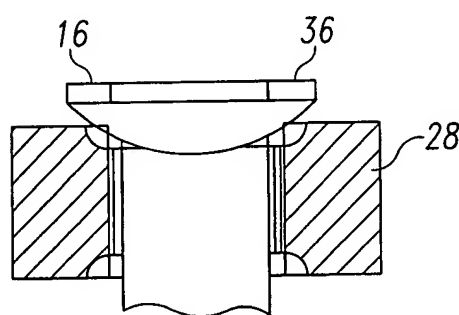


Fig. 6A

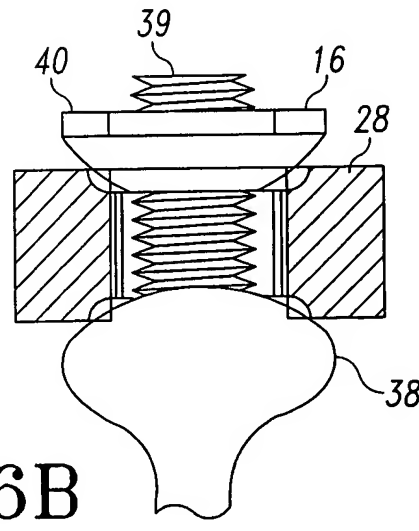


Fig. 6B



Fig. 7

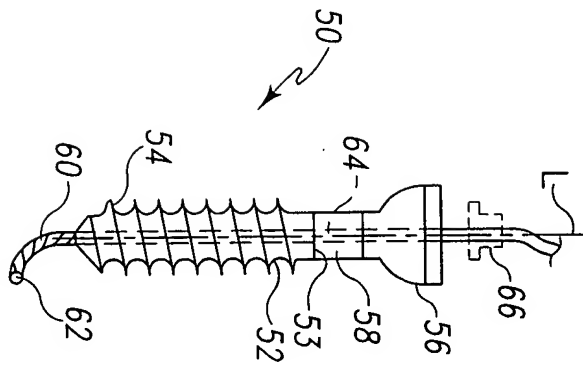


Fig. 8A

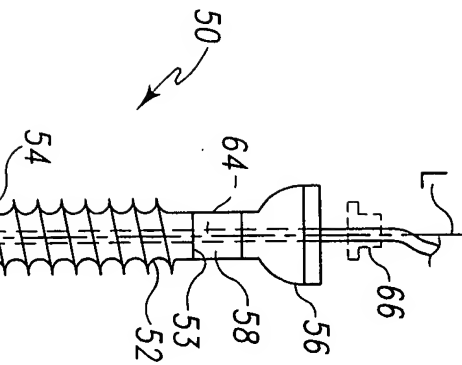
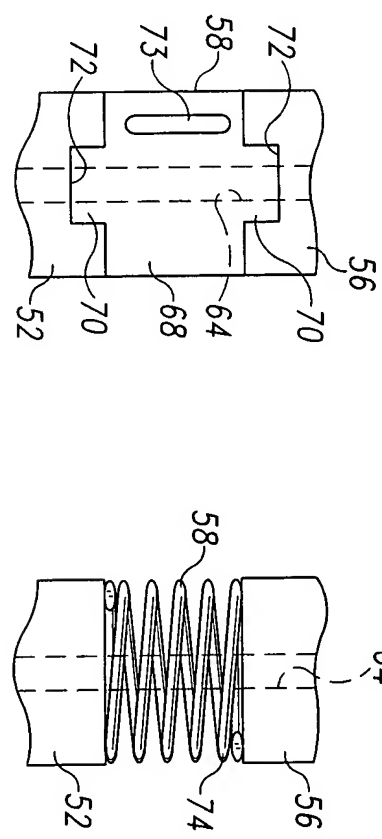


Fig. 8B

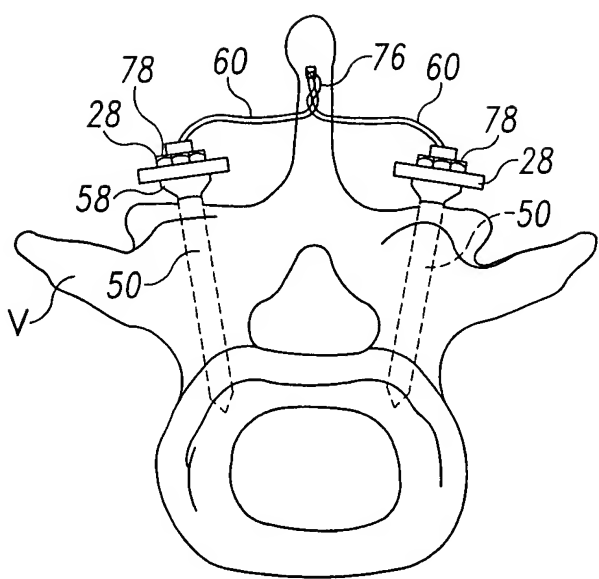


Fig. 9

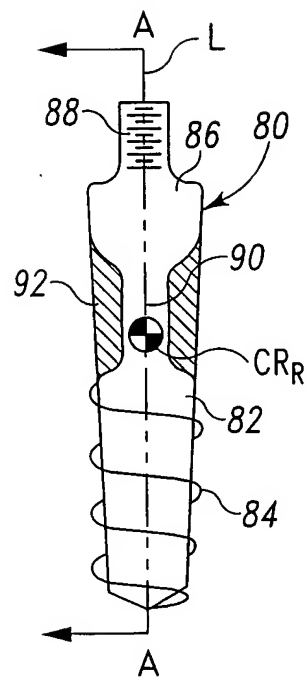


Fig. 10

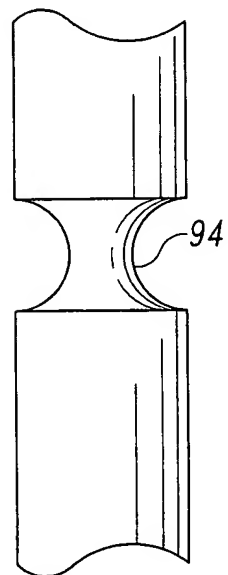


Fig. 11



Fig. 12

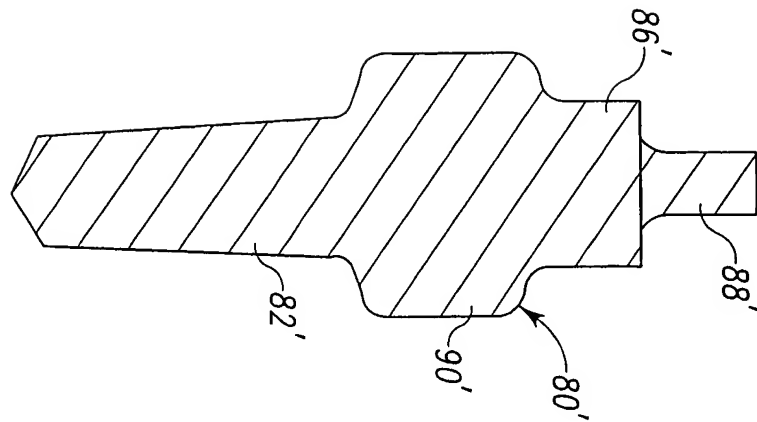


Fig. 13

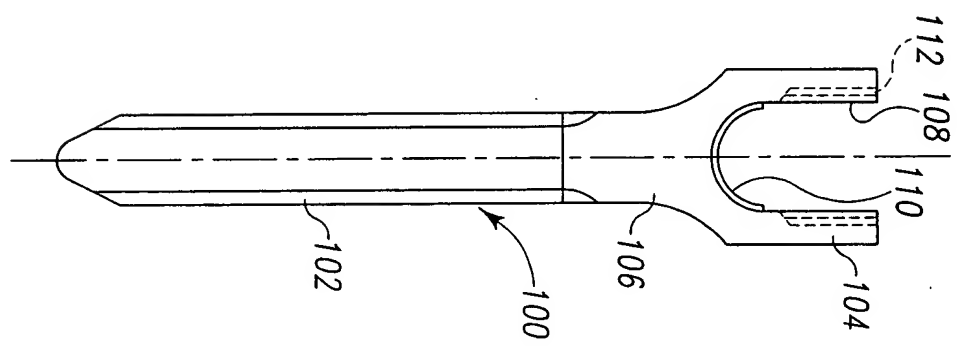


Fig. 14

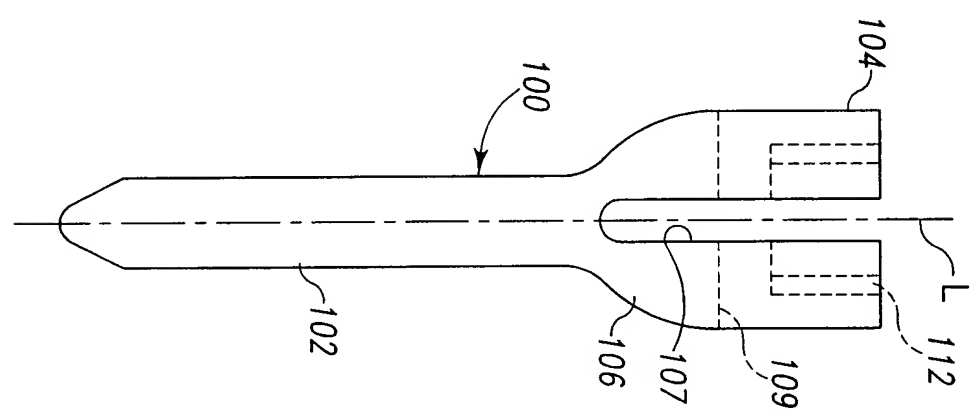
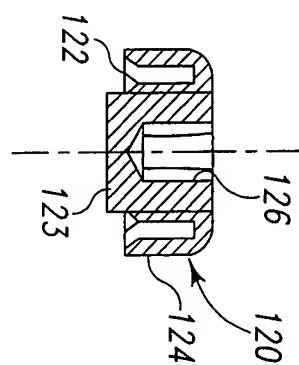


Fig. 15



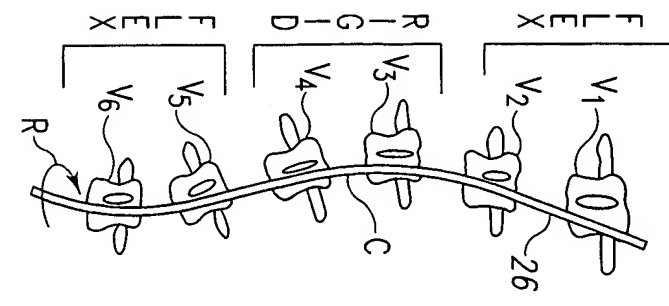


Fig. 16A

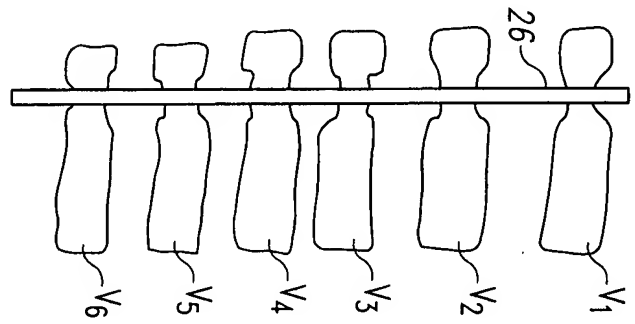


Fig. 16B

Fig. 17A

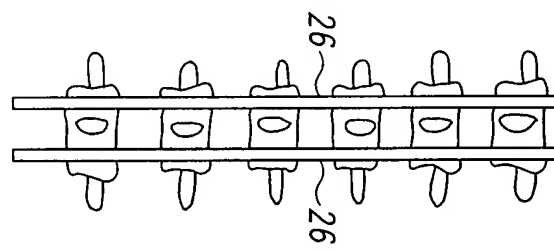


Fig. 17B

Fig. 18

